

L2 Chaux de Fonds. 21.02 2022



CARTE DE CONTROLE POUR

F3

Le Locle-Suisse

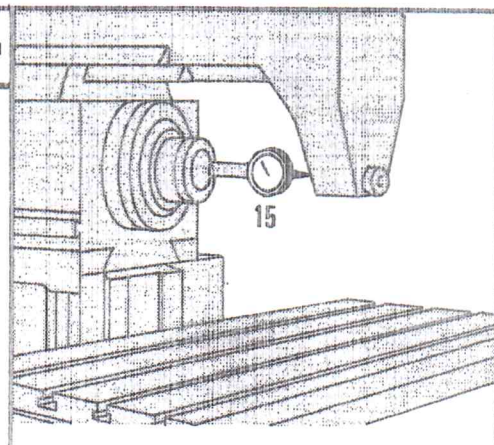
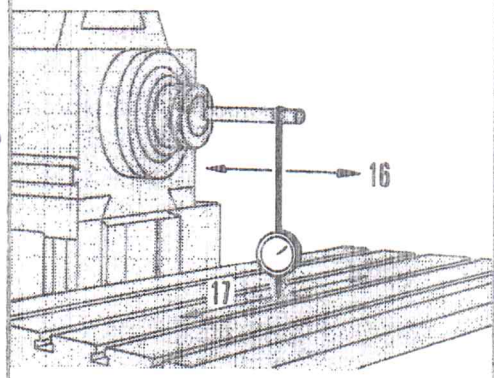
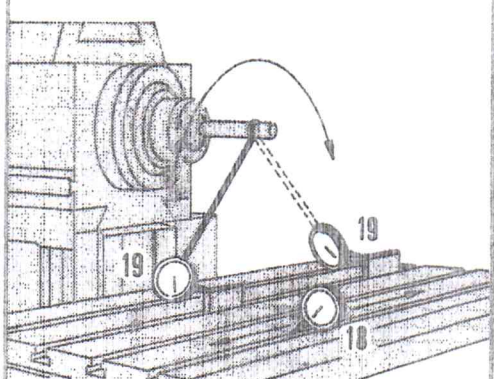
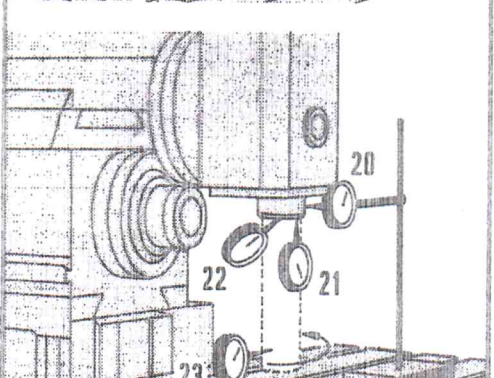
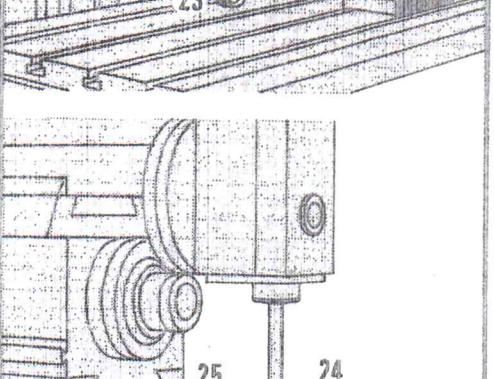
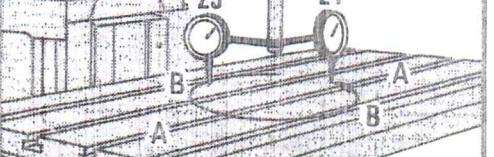

Type:

Machine No. 52352

Commande No.

Client: Inv. Greub 10227

| No. | Désignation | | | |
|-----|--|-------|-------|--|
| 1 | Coulisse supérieure de la poupée | | | |
| 2 | Parallèle au mouvement transversal, mesuré sur la poupée, x 135 mm | No 1 | 0,010 | |
| 3 | Parallèle au mouvement transversal, mesuré sur le biais, x 135 mm | | | |
| 4 | Arbre porte-fraise | | | |
| 5 | Jeu radial | No 2 | 0,010 | |
| 6 | Jeu axial | | | |
| 7 | Faux rond du cône | | | |
| 8 | Arbre parallèle au mouvement transversal: mesuré sur le tasseau, x 135 mm | No 3 | 0,005 | |
| 9 | mesuré sur le côté du tasseau, x 135 mm | | | |
| 10 | Faux rond, mesuré à 200 mm | No 4 | 0,005 | |
| 11 | Arbre parallèle à la table, mesuré sous le tasseau, x 150 mm | | | |
| 12 | Arbre perpendiculaire à la coul.long., x 300 mm | No 5 | 0,010 | |
| 13 | Coulisse longitudinale | | | |
| 14 | Face frontale parallèle au mouv.long., x 300 mm | No 6 | 0,010 | |
| 15 | Face frontale parallèle au mouv.vert., x 150 mm | | | |
| 16 | Coulisse verticale | No 7 | 0,007 | |
| 17 | perpendiculaire à la table: | | | |
| 18 | mesuré derrière le cylindre, x 150 mm | No 8 | 0,040 | |
| 19 | mesuré sur le côté du cylindre x 150 mm | | | |
| 20 | | No 9 | 0,010 | |
| 21 | | | | |
| 22 | Obere Spindelstockführung | No 10 | 0,025 | |
| 23 | Parallelität der Führung zur Querbewegung auf der Führung gemessen, x 135 mm | | | |
| 24 | Parallelität der Führung zur Querbewegung an der Schräge gemessen, x 135 mm | No 11 | 0,015 | |
| 25 | Frässpindel | | | |
| 26 | Radialspiel | No 12 | 0,010 | |
| 27 | Axialspiel | | | |
| 28 | Rundlauffehler des Innenkegels | No 13 | 0,010 | |
| 29 | Parallelität der Spindel zur Querbewegung: auf dem Dorn gemessen, x 135 mm | | | |
| 30 | an der Seite des Dornes gemessen, x 135 mm | No 14 | 0,010 | |
| 31 | Rundlauffehler im Abstand von 200 mm gemessen | | | |
| 32 | Parallelität der Spindel zur Tischfläche an der Unterseite des Dornes gemessen, x 150 mm | | | |
| 33 | Winkligkeit: Spindel zum Längsschlitten, x 300 mm | | | |
| 34 | Längsschlitten | | | |
| 35 | Vorderseite parall. zur Längsbewegung, x 300 mm | | | |
| 36 | Vorderseite parall. zur Vertikalbewegung, x 150 mm | | | |
| 37 | Ständerführung | | | |
| 38 | Winkligkeit des Vertikalschlittens zum Tisch: hinter dem Zylinder gemessen, x 150 mm | | | |
| 39 | an der Seite des Zylinders gemessen, x 150 mm | | | |
| 40 | | | | |
| 41 | Headstock upper slide | | | |
| 42 | Parallel to transverse movement, measured on the headstock, x 135 mm | | | |
| 43 | Parallel to transverse movement, measured on the bevel, x 135 mm | | | |
| 44 | Headstock spindle | | | |
| 45 | Radial play | | | |
| 46 | Axial play | | | |
| 47 | Eccentricity of internal taper | | | |
| 48 | Spindle parallel to transverse movement: measured on the arbor, x 135 mm | | | |
| 49 | measured on side of arbor, x 135 mm | | | |
| 50 | Eccentricity measured at 200 mm | | | |
| 51 | Spindle parallel to the table, measured under the arbor, x 150 mm | | | |
| 52 | Spindle square with longitudinal slide, x 300 mm | | | |
| 53 | Longitudinal slide | | | |
| 54 | Front face parallel to longit.slide, x 300 mm | | | |
| 55 | Front face parallel to vert.movement, x 150 mm | | | |
| 56 | Vertical slide | | | |
| 57 | square with the table: | | | |
| 58 | measured on rear face of cylinder, x 150 mm | | | |
| 59 | measured on side of cylinder, x 150 mm | | | |

| No. | Désignation | | | |
|-----|--|------------------------------|-------|--|
| 15 | <u>Bras prismatique</u> Décentrage de l'alésage par rapport à l'arbre porte-fraise <u>Table de travail</u> simple * inclinable ** | No 15 0,020 | |  |
| 16 | parallèle au mouvement transversal, table plus haute devant, x 135 mm | | | |
| 17 | parallèle au mouvement longitudinal, x 300 mm | | | |
| 18 | Entrées à T parallèles au mouvement longitudinal, x 300 mm | | | |
| 19 | Entrées à T perpendiculaires à l'arbre porte-fraise, x 300 mm | | | |
| 20 | <u>Appareil à fraiser vertical *</u> <u>Tête de fraisage verticale rapide **</u> | No 16 * 0,010 ** 0,010 | 0,010 |  |
| 21 | Jeu radial | | | |
| 22 | Jeu axial | | | |
| 23 | Faux rond du cône | | | |
| 24 | Faux rond, mesuré à 200 mm | | | |
| 25 | Arbre perpendiculaire à la table, A-A, x 150 mm Arbre perpendiculaire à la table, B-B, (+ devant) x 150 mm | No 17 * 0,020 ** 0,020 | 0,020 |  |
| 15 | <u>Prismatischer Gegenhalter</u> Flucht der Gegenhalterbohrung mit Frässpindel <u>Arbeitstisch</u> Winkeltisch * Kipptisch ** | No 18 * 0,020 ** 0,020 | 0,020 | |
| 16 | Parallelität des Tisches zur Querbewegung, höher vorne, x 135 mm | | | |
| 17 | Parallelität des Tisches zur Längsbewegung, x 300 mm | | | |
| 18 | Parallelität der T-Nuten zur Längsbewegung, x 300 mm | | | |
| 19 | Winkligkeit der T-Nuten zur Frässpindel, x 300 mm | No 19 * 0,020 ** 0,020 | 0,030 |  |
| 20 | <u>Vertikalfräskopf *</u> <u>Schnellaufender Vertikalfräskopf **</u> | No 20 * 0,005 ** 0,005 | 0,009 | |
| 21 | Radialspiel | | | |
| 22 | Axialspiel | | | |
| 23 | Rundlauffehler des Innenkegels | No 21 * 0,005 ** 0,005 | 0,003 | |
| 24 | Rundlauffehler im Abstand von 200 mm gemessen | | |  |
| 25 | Winkligkeit der Spindel zum Tisch A-A, x 150 mm | | | |
| 26 | Winkligkeit der Spindel zum Tisch B-B, (höher vorne) x 150 mm | No 22 * 0,005 ** 0,005 | 0,003 | |
| 15 | <u>Prismatic-Section Overarm</u> Bore concentric with headstock spindle <u>Work table</u> simple * inclining and tilting ** | No 23 * 0,020 ** 0,020 | 0,035 | |
| 16 | Parallel to transverse movement, table higher in front, x 135 mm | | |  |
| 17 | Parallel to longitudinal movement, x 300 mm | | | |
| 18 | Tee-slots, parallel to longitudinal movement, x 300 mm | | | |
| 19 | Tee-slots, square with headstock spindle, x 300 mm | No 24 * 0,010 ** 0,010 | 0,010 | |
| 20 | <u>Vertical milling head *</u> <u>High-speed vertical milling head **</u> | | | |
| 21 | Radial play | | |  |
| 22 | Axial play | No 25 * 0,010 ** 0,010 | 0,030 | |
| 23 | Eccentricity of internal taper | | | |
| 24 | Eccentricity measured at 200 mm | | | |
| 25 | Spindle square with the table, A-A, x 150 mm | | | |
| 26 | Spindle square with the table, B-B, (Higher in front only) x 150 mm | | | |